7º CBA - ITA - São José dos Campos-SP, 1988 Confuesso Bhastletto DE Automáttica

SOBRE O PROJETO DE CONTROLADORES PID

H; CUNHA JR. - PROF. DR.

VICTOR BERTUCCI - ENGº

GRUPO DE SISTEMAS DE CONTROLE ESCOLA DE ENGENHARIA DE S. CARLOS UNIVERSIDADE DE SAO PAULO 13560 - SÃO CARLOS - SP - BRASIL



#### Resumo

Os controladores proporcional integral-derivativo possuem longa tradição industrial. São apresentados tanto em controles analógicos como digitais e possuem diferentes formas de síntese, empregando os métodos frequênciais e do domínio de tempo. Esta diversidade de técnicas de obtenção dos controladores PID é apresentada neste artigo com intuito de revisão dos desenvolvimentos realizados e discussão comparativa.

# Abstract: "ON THE DESIGN OF P.I.D. CONTROLLERS"

The proportional integral-derivative controller has long tradition in  $\underline{\mathrm{in}}$  dustrial process control. Digital and analog control systems present PID  $\underline{\mathrm{con}}$  trollers. The synthesis methods of PID controller followed the evolution of the control theory and the literature presents different example in frequency and time domain. This paper intends to present a review of the developement of PID controllers and to a comparative study of this methods.

PALAVRAS CHAVES: Controladores PID, Otimização, Auto-ajustável, Alocação de polos, Sistemas de controle, Multivariáveis, Índice de desempenho, Controle digital direto.

# 1. INTRODUÇÃO

Os controladores do tipo proporcional, in tegral derivativo (P.I.D.) são de ampla utilização em processos industriais devido às virtudes que apresentam quanto ao desempenho estático e dinâmico do sistema e sobretudo, pela facilidade de aplicação destes em caso de conhecimento precário do modelo dinâmico do processo. Os controladores PID são construídos em sistemas mecânicos, pneumáticos, e eletrônicos analógicos e digitais, eo ajuste dos ganhos destes controladores, Kp, Ki e KD podem ser realizados com o processo em funcionamento com modelo descenhecido, o que é um caso típico e importante na área da química, petroquímica e outros setores industriais.

As realizações mais recentes dos controla dores PID estão selecionadas com controladores robustos, auto-ajustáveis e adaptativos.

Neste artigo revemos as diversas realizações dos controladores PID, fazendo um balan ço comparativo da evolução dos mesmos.

### 2. CONTROLE P.I.D. CLÁSSICO

O controlador PID é representado pela fun ção de transferência:

$$\frac{\text{U(S)}}{\text{e(S)}} = \text{K}_p + \frac{\text{K}_1}{\text{S}} + \text{K}_d \text{S} \quad \frac{\text{U(S)}}{\text{e(S)}} = \text{K}_c \left(1 + \frac{1}{T_1 \text{S}} + T_d \text{S}\right)$$

O efeito do termo integral nas equações tende a produzir oscilações transitórias

mais intensas, com um tempo maior de duração, melhorando o erro estacionário. O termo deri vativo responde com uma taxa de variação, no tempo, devido a sua característica de filtro passa alta. O termo PD não afeta o erro estacionário.

As condições de otimização (empíricas)pro postas por Ziegler-Nichols, 1942, são de lon ge o mais simples procedimento, divididas em dois métodos: um baseado na resposta degrau de um processo, e outro utiliza o limite de estabilidade assíntótica.

O método produz os ganhos do controlador P, PI e PID pela minimização de

$$J = \int_0^\infty (e(t))dt \quad com \ e(\infty) \to 0. \tag{2.1}$$

O primeiro aspecto simplificador está no fato de que o processo vai ser identificado por:

$$G(s) = \frac{a}{S} e^{-SL}$$
 (2.2)

onde os parametros a e L saem da resposta do sistema como na figura 2.1.

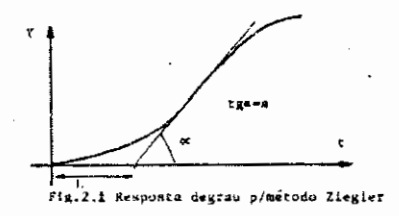
Por meio de simulação foram encontrados os seguintes ganhos ótimos:

Propor. 
$$K_p = 1/aL$$

P.I. 
$$K_p = 0.9/aL$$
  $T_i = 3.3L$ 

P.I.D. 
$$K_p = 1,2/aL$$
  $T_i = 2L$   $T_d = 0,5L$ 

SYSNO 0775565 PROD -002166



No caso de limite de estabilidade, para processos onde não é possível obter resposta degrau, eleva-se o ganho do controlador proporcional até Kp = Ko, onde obtemos a condição de oscilação com período To. Os valores dos ganhos sao:

Prop. 
$$K_p = 0.5 K_o$$

P.I. 
$$K_p = 0.45 K_0$$
  $T_i = 0.83 T_0$ 

P.I.D. 
$$K_p = 0.6 K_0$$
,  $T_i = 0.5 T_0$   $T_d = 0.125 T_0$ 

### 3. CONTROLADOR P.I.D. DIGITAL

De início os controladores PID digitais e ram obtidos por simples transformação da variavel de laplace em S para a variavel modificada em Z. A figura 3.1 corresponde a um es quema geral do sistema de controle com controlador PID.

Para a passagem da variavel S a Z e usual utilizar-se uma das seguintes aproximações,

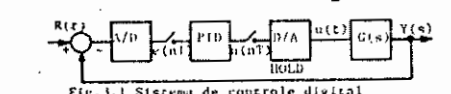
$$S = \frac{Z-1}{T}$$
  $Z = 1 + ST$  (a)

$$S = Z-1/ZT$$
  $Z = 1/1-ST$  (b) (3.1)

$$S = Z-1/ZT$$
  $Z = 1/1-ST$  (b)  
 $S = \frac{Z-1}{Z+1}$   $Z = \frac{1+S\cdot T/2}{1-S\cdot T/2}$  (c)

Desta maneira, tomando-se S igual a uma a proximação ·

$$G_c(S) = K_p + K_1/S + K_dS \Big|_{S = \frac{Z-1}{T}}$$
 (3.2)



Krikelis, 1984, utilizando a função de transferência abaixo e a estrutura de blocos diferença da fig. 3.2, chega à equação de (3.4) por aproximação bilinear entre S.e. Z

(equação 3.1.c)
$$G_{c}(S) = \frac{K_{p}}{1+T_{F}S} \left[ 1 + K_{d}' + \frac{1}{K_{d}'S} \right]$$

onde 1/Tr e um filtro passa baixa e os termos

$$K_p$$
,  $K_d$  e  $K_i$  são substituídos por:  
 $K_p = K \frac{T_1 + T_2}{T_1}$   $K_i' = T_1 + T_2$   $K_d' = \frac{T_1 T_2}{T_1 + T_2}$ 

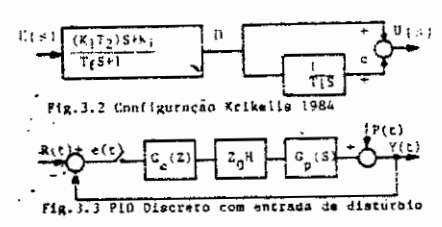
resultando: 
$$T_2S+T_2 = T_1S+T_2 (1 + \frac{1}{T_1S})$$
 (3.3)

Da equação (3.3) se obtém a (3.4): 
$$D(n) = \frac{T_F}{T_F + T_S} \cdot D(n-1) + \frac{K_1(T_2 + T_S)}{T_F + T_S} E(n) - \frac{K_1T_2}{T_f + T_S} E(n-1)$$
 (3.4)

$$C(n) = C(n-1) + TSD(n)/T1$$

$$U(n) = C(n) + D(n)$$

sendo T<sub>S</sub> período de amostragem.



Outro caminho simples para obtenção de con trolador PID digital e considerarmos a forma discreta da equação (3.5) e tratarmos o problema como um sistema discreto de segunda or dem, do tipo da equação (3.6).

$$G_c(Z) = K_p + \frac{K_1 T}{2} (\frac{Z+1}{Z-1}) + \frac{K_d}{T} (\frac{Z-1}{Z})$$
 (3.5)

fazemos:  $G_{c}(Z) = \frac{Z^{-2} a_{2} + Z^{-1} a_{1} + a_{0}}{Z^{-2} b_{2} + Z^{-1} b_{1} + 1}$ (3.6)

$$a_0 = K_p + K_1T/2 + K_d/T$$
  $a_1 = -K_p + K_1T/2 - 2K_d/T$ 

$$a_2 = K_d/T$$
  $b_1 = -1$   $b_2 = 0$ 

A síntese dos controladores pode ser realizada considerando o plano S ou Z para o sis tema como um todo e utilizando as técnicas u suais de compensação.

Seguindo a tradição dos métodos de Ziegler e Nichols, Takahashi et al. (1975) introduzem um método para obtenção do PID visando um com promisso de minimização tanto do erro para en trada de R(t) de referência, como para o sinal de disturbio p(t), apresentados na figura 3.3.

Tomando  $G_c(Z) = K_p + (K_1/1 - Z^{-1}) + K_d(1 - Z^{-1})$ 

$$J = \sum_{t=0}^{\infty} e^{2}(nT)$$

para entradas R(t) e p(t) em degrau, da mesma forma que Ziegler e Nichols e referido a duas tabelas para ajuste dos controladores.

Tomando (a,L) com o mesmo processo de Zi<u>e</u> gler e Nichols, e supondo  $L/T \ge 0.5$ , temos pa ra resposta degrau:

prop. 
$$K_p = \frac{1}{a(L/T)}$$

P.I. 
$$K_p = \frac{0.9}{a(L+0.5T)} - 0.5 K_i$$

$$K_i = \frac{0.27 \text{ T}}{a(1+0.5T)^2}$$

$$K_{i} = \frac{0.27 \text{ T}}{a (L+0.5T)^{2}}$$
P.I.D.  $K_{p} = \frac{1.2}{a (T+L)} - 0.5 \text{ K}_{1}$ 

$$K_{s} = \frac{0.6 \text{ T}}{4.00 \text{ F}^{2}/3} \qquad K_{d} = 0.5/4$$

No caso do método das oscilações periódicas com Ko e To obtidos também como Ziegler e Nichols,

Frop. 
$$K_p = 0.5 K_0$$
  
P.I.  $K_p = 0.45 K_0 - 0.5 K_i$   $K_i = 0.54 \frac{K_0}{T_0} \cdot T$   
P.I.D.  $K_p = 0.6 K_0 - 0.5 K_i$   
 $K_i = 1.2 K_0 T/T_0$   $K_0 = 3 K_0 T_0/40 T$ 

# 4. TÉCNICAS MODERNAS

Com o avanço considerável na teoria de con trole nas últimas décadas, tivemos um certo distanciamento entre os praticantes e teóricos (Doyle, 1981). Essas novas técnicas aplicadas aos princípios de controladores PID diversificaram suas aplicações, onde registramos em sistemas multivariáveis, otimizados, a daptativos e auto-ajustáveis. A base teórica clássica devemos somar recursos computacionais para domínio no tempo, otimização e sistemas estocásticos.

### 4.1 - PID em Sistemas Multivariaveis

Os controladores PID são utilizados em sis temas multivariáveis, mantendo um razoávei de sempenho na resposta a transientes, precisão estática e rejeição a distúrbios. Os trabalhos desenvolvidos (mais na década de 70), propunham a realimentação de estado e/ou saí da, onde determinavam-se as matrizes pertinentes ao PID. Uma idéia (Smith, 1972) interessante é a de se introduzir um controle in tegral na realimentação de estado, possibilitando um sistema seguidor de referência, ao invês de apenas reguladores R(s) = 0, quando se usa realimentação de estado proporcional a penas. Vamos considerar as equações dinâmicas representando um sistema linear:

$$\dot{x} = Ax + Bu + Ev$$

$$y = Cx + Hv$$
(4.1)

onde x - vetor de estado n x 1, u - vetor de controle p x 1, v - vetor de entrada e dist $\hat{\mathbf{u}}_{\underline{r}}$  bio m x 1, y - vetor de saída q x 1.

Levar o estado  $x_1(t)$  para a referência  $r_1(t)$  equivale:

$$y(t) = v_1 - x_1$$
 (4.2)

quando t tende ao infinito, onde  $v_1 = r(t) = R = constante$ . O controle integral na realimentação de estado aumenta o tipo do sistema, fazendo a saída seguir a entrada. Utilizando a lei de controle:

$$u = -G_1 x - G_2 \int y dt,$$
 (4.3)

com G<sub>1</sub> pxn e G<sub>2</sub> pxq, matrizes de ganho de realimentação com elementos constantes, cria mos q estados adicionais com integradores:

$$\begin{bmatrix} \dot{\mathbf{x}} \\ \dot{\mathbf{z}} \end{bmatrix} = \begin{bmatrix} \mathbf{A} & \mathbf{0} \\ \mathbf{C} & \mathbf{0} \end{bmatrix} \begin{bmatrix} \mathbf{x} \\ \mathbf{z} \end{bmatrix} - \begin{bmatrix} \mathbf{B} \\ \mathbf{0} \end{bmatrix} [\mathbf{G}_1 \mathbf{G}_2] \begin{bmatrix} \mathbf{x} \\ \mathbf{z} \end{bmatrix} + \begin{bmatrix} \mathbf{E} \\ \mathbf{H} \end{bmatrix} \mathbf{v}$$
(4.4)

com o diagrama de blocos da figura

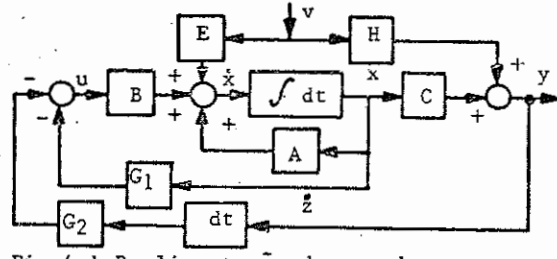


Fig. 4.1 Realimentação de estado com controle integral

Assim impomos os pólos na equação característica de malha fechada e obtemos os valores dos elementos de  ${\sf G}_1$  e  ${\sf G}_2$ .

No trabelho descrito por Seraji e Tarokh, (1977),, é utilizado um método de alocação de

polos e realimentação de saída apenas, intro duzindo uma estrutura conhecida como de posto unitário, reduzindo o número de graus dos parametros do controlador e separando a rere rencia da entrada de distúrbios, ou seja, fazendo H=0, v=vetor de referência (entrada) e colocando o termo Ed, onde d-vetor de distúrbio vx1, na equação 4.1.

As variaveis de estado adicionais serão da das por

 $z = \int_{-\infty}^{\infty} (R-y) dt$ , onde v e o vetor de comando.

O sistema aumentado deve garantir que o sistema original (A,B,C) seja controlável e observável, e que a matriz T

$$T = \begin{bmatrix} A & B \\ -c & 0 \end{bmatrix} A_1^* = \begin{bmatrix} A & B\bar{Q} \\ -c & 0 \end{bmatrix}$$
 (4.5)

tenha posto n+q. Foi utilizada a lei de controle  $u=uc+\bar{Q}z$ , onde uc=P+q/s+Ds e  $Q=-qk+\bar{Q}$  e D=dk, ou seja, temos um PID em paralelo com um controle integral  $\bar{Q}/L$ . Para que a matriz do sistema seja cíclica temos que montar a matriz  $A_1^*$ . Para proceder a alocação de pólos, o sistema é transformado para o do mínio da frequência, onde teremos:

$$\begin{bmatrix} y(s) \\ z(s) \end{bmatrix} = \frac{C * adj (SI - A_1^*) B *}{det (SI - A_1^*)} uc(s) = \frac{W * (s)}{F * (s)} uc(s)$$

$$(4.6)$$

onde B\* e C\* são matrizes do sistema aumenta do. A matriz função de transferência do controlador deve ter posto unitário e deve ser:

$$K*(s) = (P + \frac{q}{s} + rS)k$$
 (4.7)

onde k é um vetor lx q arbitrário (específicado pelo projetista) e P, q e r são vetores mx l a serem descobertos. Esse método garante ainda que a resposta não seja afetada por perturbações com valor final constante em t tendendo ao infinito, mas apresenta a desvantagem de se passar para o dominio da frequência, aumentando as dificuldades e erros advindos de cálculos computacionais (Bosley, 1972).

Outras variações foram feitas, tais como inclusão do controlador na realimentação com múltiplas malhas (Tarokh, 1977), ou mesmo controle integral em cascata com o processo (Seraji, 1979), utilizando as mesmas técnicas de alocação de pólos.

Paraskevopoulos, em 1980, propôs uma inovação, utilizando PID em cascata, apenas de saída, unitária. Considerando as equações de estado do sistema:

$$\dot{x} = Ax + Bu + Ed$$

$$y = Cx$$
(4.8)

com a lei de realimentação de saída dada por:

$$\mu = K_{i}C \int_{0}^{t} xdt + K_{p}Cx + Kd + Cx + w ,$$

$$w = -K_{i} \int_{0}^{t} rdt - Kpr - Kdr$$
(4.9)

Substituindo (4.9) em (4.8), temos:  $\dot{x} = (In-BKdC)^{-1}[(A+BK_pC)x+BK_iC]_0^t xdt+Bw+Ed]$ (4.10)

e reescrevemos equação (4.8) com novas variá

veis de estado fazendo  $z=\int_0^{\mathbb{T}} ydt$ . Assim ter $\underline{e}$  mos:

$$A^{*} = \begin{bmatrix} 0 & 0 & 0 \\ (In-BKdC)^{-1}BK_{1} & (In-BdC)^{-1}(A+BK_{p}C) \end{bmatrix}$$

$$B^{*} = \begin{bmatrix} 0 & 0 \\ (In-BKdC)^{-1}B \end{bmatrix}, E^{*} = \begin{bmatrix} 0 \\ (In-BKdC)^{-1}E \end{bmatrix}$$

$$C^{*} = \begin{bmatrix} 0 & C \end{bmatrix}, X^{*} = \begin{bmatrix} z \\ x \end{bmatrix}$$

onde  $X^*$ ,  $A^*$ ,  $B^*$  e  $C^*$  são de dimensão  $(n+q) \times \times (n+q)$ ,  $(n+q) \times m$ ,  $(n+q) \times v$ ,  $q \times (n+q)$ , respectivamente. Precisamos determinar  $K_p$ ,  $K_T$  e  $K_D$  tal que a matriz do sistema de malha fechada tenha seus auto-valores pre-designados, ou seja:

$$|SI_{n+1} - A\star| = \prod_{i=1}^{n+q} (S + \lambda_i)$$
 (4.11)

Assim construímos uma matriz  $H(n+q) \times (n+q)$  com auto-valores  $\lambda_1, \lambda_2, \ldots, \lambda_{n+1}$ , com a condição suficiente  $A^* = H$  repartida como:

$$A^* = \begin{bmatrix} A_1^* \\ A_2^* \end{bmatrix} = H = \begin{bmatrix} H_1 \\ H_2 \end{bmatrix}, \quad A_1^* = \begin{bmatrix} 0 & C \end{bmatrix}$$

Chega-se à condição BKM = V, onde:

$$K = [K_1 \quad K_p \quad K_d]$$
,  $M = \begin{bmatrix} \hat{I} \\ \hat{C} \end{bmatrix}$   
 $m \times 3q$ ,  $M = \begin{bmatrix} \hat{I} \\ \hat{C} \end{bmatrix}$   
 $CH_2$   $M \times (n+1)$ 

$$V = H_2 - \overline{A}$$

$$n \times (n+q)$$

onde 
$$\hat{I} = [I_m \ 0], \hat{A} = [0 \ A], \hat{C} = [0 \ C], com$$
  
 $H_2 = [(I_n - BK_dC)^{-1} BK_1 \ (I_n - BK_dC)^{-1} (A + BK_DC)]$ 

Teremos n(n+q) equações lineares com 3mq incógnitas, que podem ser solucionadas por me todos apresentados por Paraskevopoulos em 1976 e 1978. Neste trabalho, através do teorema do valor final observamos que no regime permanente, para distúrbios de valor final constante, a saída não será afetada e o comportamento do transiente será o designado pe los auto-valores de A\*.

#### 4.2 - Otimização

A otimização de um processo é uma caracte rística básica do controle moderno. O princípio é o de se selecionar um determiado índice de desempenho (ID), obtendo-se assim uma única solução de projeto correspondente. Par ker (1972), apresentou um projeto para contro ladores PID através do uso da teoria de reguladores ótimos lineares, fazendo com que o sistema linear invariante seguisse um degrau na entrada, tendo erro de regime nulo, incorporando um sinal proporcional à integral do erro no controlador.

Considerando um sistema com as equações dadas pela equação (4.1), com V=0, fazemos uma transformação tal que:

$$q = \begin{bmatrix} Y \\ \eta \end{bmatrix}$$
,  $q = Tx$ ,  $T = \begin{bmatrix} C \\ L \end{bmatrix}$ , (4.12)

onde q é um vetor de estado transformado, n é um vetor (n-m) x l, T - matriz não síngular nxn e L ~ matriz (n-m) xn de escolha arbitrária. Se escolhermos:

$$q = \begin{bmatrix} c_1 & c_2 \\ 0 & I \end{bmatrix}, \quad \eta = \begin{bmatrix} x_{mn} \\ x_{m+1} \\ \vdots \\ x_n \end{bmatrix}$$
 (4.13)

onde I - matriz identidade (n-m) x (n-m). Para garantir T singular, det T = det C1. Escolhemos L tal que os elementos sejam mais fáceis de se obter (medir). Outra preocupação é a de L afetar a função de custo, ou ID. Assim sob transformação, a eq. (4.1) torna-se:

$$\dot{q} = TAT^{-1}q + TBu = Fq + Gu \qquad (4.14)$$

onde F e G serão repartidos em:

$$F = \begin{bmatrix} m & n-m \\ F_1 & F_2 \\ F_3 & F_4 \end{bmatrix} \quad G = \begin{bmatrix} m & G_1 \\ n-m & G_2 \end{bmatrix}$$
 (4.15)

com a equação C sendo:

$$\dot{y} = F_{1y} + F_{2\eta} + G_{1u}$$
 (4.16)

 $\dot{\eta} = F_3 + F_{y\eta} + G_{2u}$ om uma nova lista de

com uma nova lista de variáveis, com  $\theta = \varepsilon$ ,  $\theta_2 = \dot{\varepsilon}$ ,  $\theta_3 = \dot{\eta}$ , onde  $\varepsilon = R(t) - Y(z)$ , vetor erro mx1 e  $\theta_1$ ,  $\theta_2$  vetores mx1 e  $\theta_3$  vetor(n-m)x1. Como definimos  $\dot{\theta}_1 = \dot{\theta}_2$ ,  $\dot{\theta}_2 = d(R-Y)/dt$  e  $\dot{\theta}_2 = -\ddot{\gamma}$ . (para R degrau), teremos através da eq. 4.14:

onde v = u, vetor de controle r x l. Podemos a gora reescrever o sistema com a equação matricial.

$$\dot{\theta} = \phi \theta + \Gamma V \tag{4.18}$$

$$\Phi = \begin{bmatrix} 0 & I & 0 \\ 0 & F_1 & -F_2 \\ 0 & -F_3 & F_4 \end{bmatrix} e \Gamma = \begin{bmatrix} 0 \\ -G_1 \\ G_2 \end{bmatrix}$$

Utilizamos agora a função de custo da for ma quadrática que está associada à teoria de regulador ótimo lincar, ligada aos sistemas realimentados invariantes no tempo, cujo valor deve tender a zero em um intervalo infinito de integração.-

$$J = \int_0^\infty \theta^T Q \theta + v^T S v dt, \qquad (4.19)$$

onde Q e S são matrizes positiva-semidefinida e positiva definida, de crdem (n+m) e r respectivamente.  $\theta^T$  Q  $\theta$  é uma medida do desvio das variáveis de estado e seu valor final (zero) e Q pode ser escolhida tal que  $|\cdot| \epsilon |\cdot|^2$  (norma do erro ao quadrado). Já o termo VTSV não interfere explicitamente no resultado do controle, mas limita a taxa na qual o controle u pode mudar, o que na prática é desejável. A solução para as equações (4.18) e (4.19) é:

$$V = S^{-1} \Gamma^{T} P \theta ag{4.20}$$

onde P é a matriz positiva-definida que satisfaz a equação algébrica de Riccati:

$$P \Phi + \Phi^{T} P - P \Gamma S^{-1} \Gamma^{T} P + Q = 0$$

e a equação (4.20) pode ser reescrita como:

$$V = K_1 \theta_1 + K_2 \theta_2 + K_3 \theta_3$$

com  $K_1$ ,  $K_2$  matrizes rxm e  $K_3$ , matriz rx (n-m).

Através das equações (4.16) e (4.17) podemos fazer o seguinte diagrama de blocos (fig. 4.2)

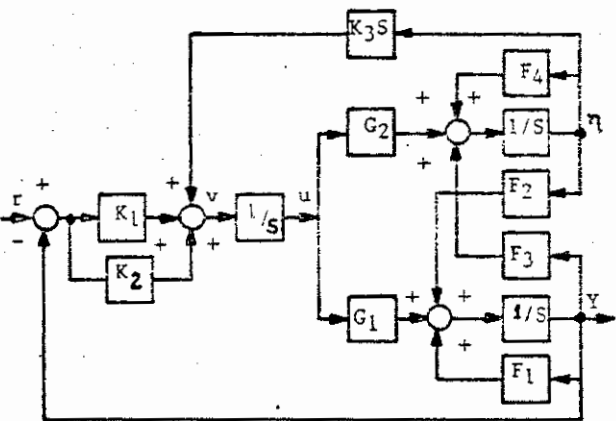
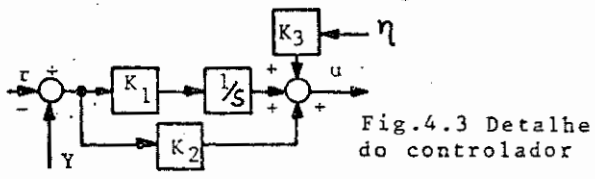


Fig. 4.2 diagrama em blocos do sistema ótimo

O controlador delimitado na fig. 4.3 fica:



Em muitos casos os elementos de n podem ser considerados como combinações lineares de derivadas superiores de y, tornando o contro lador inteiramente PID. Observamos por este método que o PID é sintetizado através da equação de estado, aumentando o número de variáveis de estado. As variações que permitem o projeto de um PID otimizado vão desde a impossibilidade de acessos aos estados, limitações das condições. introdução de distúrbios e escolha do ID. Assim teremos variações nas for mulações dos controladores, como sugerem Rakasius, 1967 e Jameson, 1970. Afimiwala, 1978, propôs um estudo de contornos dos 3 parâmetros PID em duas dimensões utilizando:

$$ID = \int_{0}^{\infty} t |Y_{R} - R| dt$$

impondo várias restrições de resposta à planta, ao controlador e aos distúrbios.

## 4.3- Auto-Ajuste

Os métodos de auto-ajustagem geralmente a mostram a resposta do processo para um sinal de entrada de teste, processando os dados para estimar valores característicos desse mesmo processo e ainda calcular valores ótimos dos parametros do controlador. Existem procedimentos de malha aberta, onde amostramos na saída do processo, quando aplicamos na entrada um pulso, suficiente para que através do cálculo das áreas (Ohta et al., 1979), tenha mos após a otimização, a ajustagem dos parametros. Nishikawa et al., 1984, propõem um procedimento de malha fechada como mostra a fig. 4.4, com um PID em conexão série e as funções de transferência:

$$G_{c1} = K_c (1 + \frac{1}{T_i S})$$
, PI

$$G_{\text{c2}} = \frac{1 + T_{\text{d}}S}{1 + T_{\text{g}}S} \quad , \quad \text{PD}$$

Vemos na fig. 4.4 que o controlador analisa também a resposta do processo ao distúrbio N.

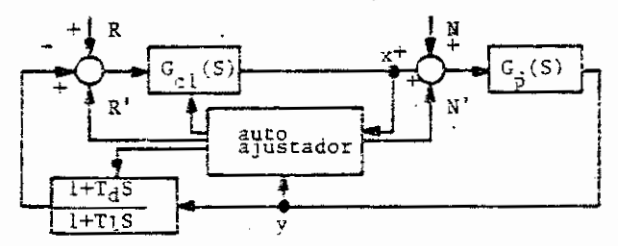


Fig. 4.4 PID auto-ajustavel

As areas referentes à resposta a degrau são calculadas somo:

calculadas somo:  

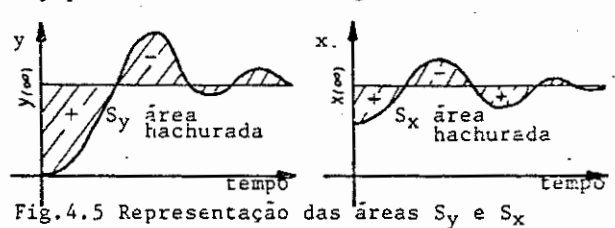
$$Sy = \int_{0}^{\infty} [Y(\infty) - Y(t)] dt$$

$$Sx = \int_{0}^{\infty} [X(\infty) - X(t)] dt$$

$$SAx = \int_{0}^{\infty} e^{-\alpha t} [x(\infty) - x(t)] dt$$

$$SAy = \int_{0}^{\infty} e^{-\alpha t} [Y(\infty) - Y(t)] dt$$

onde  $x(\infty)$  e  $Y(\infty)$  são valores finais de x(t) e Y(t) respectivamente. Exemplos das áreas Sx e Sy podem ser vistos na fig. 4.5.



O parametro α dá a diferença entre a área e a integral da área e fica entre O e l, sen do escolhido pelo parametro T<sub>T</sub> que dá a soma das constantes de tempo e do tempo de atraso (dead time). No caso de aplicarmos um degrau unitário na entrada R', para o sistema da fig. 4.4 para um processo de auto-regulação, obteremos a relação:

$$\begin{split} &Y(\infty) = 1 \; , \quad x(\infty) = 1/K_{p} \\ &Sy = \frac{T_{1} + (T_{d} - T_{k})K_{p}K_{c}}{K_{p}K_{c}} \\ &Sx = \frac{1}{K_{p}} \left[ \frac{T_{1}}{K_{p}K_{c}} + T_{d} - T_{k} - T_{T} \right] \\ &SAy = \frac{1}{\alpha} \left[ 1 + \frac{(T_{d} - T_{k})}{1 + T_{d} \frac{1}{k}} K_{c} \left(1 + \frac{1}{T_{1}}\right)K_{p}F_{\alpha}}{1 + T_{k}\alpha} K_{c} \left(1 + \frac{1}{T_{1}\alpha}\right)K_{p}F_{\alpha} \right] \\ &SAx = \frac{1}{\alpha} \left[ \frac{1}{K_{p}} - \frac{K_{c} \left(1 + \frac{1}{T_{1}\alpha}\right)}{1 + \frac{1 + T_{d}\alpha}{1 + T_{k}\alpha}K_{c} \left(1 + \frac{1}{T_{1}\alpha}\right)K_{p}F_{\alpha}} \right] \\ &Ade: & \text{If } _{b} e^{-LS} \end{split}$$

é a função de transferência do processo quan

do for auto-regulado, por exemplo. Em segui da procede-se a otimização dos parâmetros do PID. Como podemos observar resumidamente, os controladores auto-ajustáveis podem apresentar estruturas diversas e distantes do PID clássico, mas mantêm os mesmos objetivos quan to ao resultado final do PID. Outros estudos sobre auto-ajustáveis com estrutura PID podem ser analisados em trabalhos como de Badr, 1983 (PID digital), Min et al., 1985 (PID digital com dead-time) e Thompson, 1982 (PID para planta desconhecida).

#### CONCLUSÃO

Os controladores PID cobrem uma grande gama de aplicações industriais e sofreram diversas modificações tecnológicas ao longo do tempo, incorporando os avanços da teoria de controle e os das flexibilidades dos sistemas eletrônicos.

Através deste artigo podemos ter um amplo quadro comparativo dos diversas avanços dos controladores PID e dos diversos recursos in corporados a este.

Em artigo futuro apresentaremos a implementação dos métodos aqui apresentados de maneira breve.

#### BIBLIOGRAFIA

- Ziegler, J.C.; Nichols, N.B. (1942). "Optimum Setting for Automatic Controllers". <u>Trans.</u> <u>ASME</u>, 64, nº 8, november, p. 759.
- Takahashi, Y.; Rakins, M.J.; Auslander, D.M. (1970). "Control and Dynamic Systems". Addison-Wesley Publishing Company.
- Jameson, A. (1970). "Optimization on Linear Systems of Constrained Configuration", Int. J. Control, 11, pp. 409-421.
- Afiniwala, K.A.; Mayne, R.W. (1978). "Optimum Design of Control System Compensators". Trans. of the ASME, Vol. 100, June, pp. 140-151.
- Thomas, Y. "Automatique de Systemes Lineares". Tome III: Commande de Larminat, Flamarion Sciences, Paris.
- Nishikawa et al. (1984). "A method for Auto-Tuning of PID Control Parameters". Automatica, Vol. 20, nº 3, pp. 31-32.
- Smith, H.W.; Davison, E.J. (1972). "Design of Industrial Regulators". Proc. IEE (London), Vol. 119, pp. 1210-1216, Aug.
- Parker, K.T. (1972). "Design of Proportional-Integral Derivative Controllers by the use Optimal-Linear-Regulator Theory". Proc. IEE, Vol. 119, nº 7, July, pp. 911-914.
- Davison, E.J.; Smith, H.W. (1971). "Pole Assignment in Linear Time Invariant Multivariable Systems with Constant Disturbances", Automatice, Vol. 7, pp. 489-498.
- Davison, E.J. (1972). "The Output Control of Linear Time-Invariant Multivariable Systems with Unmersurable arbitrary Disturbances", IEEE Trans. Automat., Vol. 17, pp. 621-629.

- Ohta, T. et al. (1979). "A New Optimization Method of PID Controla Parameters for Automatic Tuning by Process Computer". In: IFAC, Zurich, 29-31 Aug., pp. 133-138.
- Seraji, H.; Tarokh, M. (1977). "Design of PID Controllers for Multivariable Systems". Int.J.Contr., Vol. 26, pp. 75-83.
- Krikelis, N.J.; Fassois, S.D. (1984). "Microprocessor Implementation of PID Controllers and Lead-Lag Compensators". IEEE Trans. Ind. Electronics, Vol. IE-31, Nº1, Feb.
- Takahashi, Y., Tonizuka. M.. Auslander. D.M., (1975). "Simple Discrete Control of Industrial Process". Trans. ASME, Series G, J. Dyn.Syst.Means. and Control. Vol.97, nº 4, pp. 354, Dec.
- Doyle, J.C.; Stein, G. (1981). "Multivariable Feedback Design: Concepts for a Classical Modern Synthesis", IEEE Trans.on Automat. Control, Vol. AC-26, nº 1, Feb.
- Bosley, M.J.; Kropholler, H.W.; Less, F.P. e Neale, R.M. (1972). "The Determination of Transfer Function from State Variable Models". Automatica, Vol. 8, pp. 213-216.
- Tarokh, M.; Seraji, H. (1977). "Proportional--Plus-Multiple Derivative Output Feedback. A New Multivariable Controller for pole Pla cement". Int. J. Control, V. 25, n 2, pp. 293-382
- Seraji, H. (1979). Design of Proportional-plus Integral Controllers for Multivariable Systems. Int. J. Control, V. 29, nº1, pp. 49-63.
- Paraskevopoulos, P.N. (1980). "On the Design of PID Output Feedback Controllers for Linear Multivariable Systems". IEEE Trans.on Ind. Elect. and Control Instrum., V.IECI-27,n2 1.
- Parakesvopoulos, P.N. (1978). "On pole Assignment by Proportional-Paus-Derivative Output Feedback", Electron. Lett., Vol. 14, pp. 34-36.
- Paraskavopoulos, P.N.; King, R.E. (1976). "A Kronecker Product Approach to Pole Assignment by Output Feedback". Int.J. Control, Vol. 24, nº 3, pp. 325-334.
- Thompson, S. (1982). "Multivariable PID Controller for unidentified plant". Trans. ASME, Vol. 104, sept., pp. 270-274.
- Badr, M.A.L. (1983). "A self-tuning PID voltage regulator for synchronous generator". Can.J.Eng.Educ., Vol. 8, nº 1.
- Min. L.C. et al. (1985). "Tuning of PID control lers for first and second order lag processes with dead time". Can. J. Eng. Educ., Vol. 22, pp. 345-353.
- Rekasius, Z.V. (1967). "Optimal linear regulators with incomplete state-feedback".

  IEEE Trans., Vol. AC-12, pp. 296-299.
- Hind, E.C.; Dollar, W. (1966). "Analysis of pneumatics controllers", J. Basic Eng. AS-ME-Trans., June, pp. 287-294.
- D'Azzo, J.J.; Houpis, C.H. (1981). "Análise e Projeto de Sistemas de Controle Lineares" Ed. Guanabara Dois S.A.